

ТЕЧЕНИЕ ВЯЗКОЙ НЕСЖИМАЕМОЙ ЖИДКОСТИ НА ВХОДНОМ УЧАСТКЕ ПЛОСКОГО КАНАЛА

Н. И. Булеев, Г. И. Тимухин (Обнинск)

Приводятся результаты расчета полей скорости и давления потока вязкой несжимаемой жидкости в плоском канале при ударном профиле скорости на входе.

§ 1. Постановка задачи. Рассмотрим установившееся течение вязкой несжимаемой жидкости в плоском зазоре на входном участке.

Направим ось x вдоль потока, а ось y — перпендикулярно плоскостям, ограничивающим поток. Начало координат поместим на одной из пластин во входном сечении (фиг. 1). Для продольной и поперечной составляющих скорости и для давления введем обозначения: u , v и p соответственно. Введем безразмерные переменные

$$x' = \frac{x}{b}, \quad y' = \frac{y}{b}, \quad u' = \frac{u}{u_0}, \quad v' = \frac{v}{u_0}, \quad \pi = \frac{p}{\rho u_0^2}, \quad R = \frac{u_0 b}{\nu} \quad (1.1)$$

Здесь b — полуширина канала, u_0 — некоторый масштаб скорости, ρ — плотность жидкости. Тогда исходные уравнения для течения вязкой несжимаемой жидкости в плоском зазоре примут вид (штрихи у безразмерных переменных опускаем)

$$u \frac{\partial u}{\partial x} + v \frac{\partial u}{\partial y} = -\frac{\partial \pi}{\partial x} + R^{-1} \Delta u \quad (1.2)$$

$$u \frac{\partial v}{\partial x} + v \frac{\partial v}{\partial y} = -\frac{\partial \pi}{\partial y} + R^{-1} \Delta v \quad (1.3)$$

$$\frac{\partial u}{\partial x} + \frac{\partial v}{\partial y} = 0 \quad (1.4)$$

Ради простоты будем рассматривать течение, симметричное относительно средней плоскости канала, т. е. верхней границей потока будем считать плоскость $y = 1$.

На входе в канал зададим произвольный профиль составляющей скорости u и достаточно свободное условие для составляющей скорости v , а именно

$$u = f_1(y), \quad \frac{\partial v}{\partial x} = 0 \quad (1.5)$$

На расстоянии L от входного сечения зададим условия

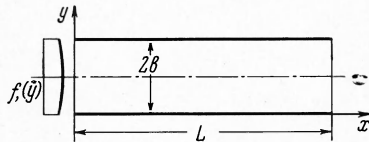
$$u = f_2(y), \quad \frac{\partial v}{\partial x} = 0 \quad (1.6)$$

На стенке канала ($y = 0$), естественно, выполняются условия

$$u = v = 0 \quad (1.7)$$

а на верхней границе ($y = 1$)

$$\frac{\partial u}{\partial y} = 0, \quad v = 0 \quad (1.8)$$



Фиг. 1

Уравнения (1.2) — (1.4) с краевыми условиями (1.5) — (1.8) представляют собой замкнутую систему для отыскания трех переменных u , v и π , причем давление π находится с точностью до произвольной постоянной.

§ 2. Метод решения задачи. Преобразуем нашу систему уравнений следующим образом. Исключим из нее давление π . Для этого продифференцируем уравнение (1.2) по y , а уравнение (1.3) — по x и из второго результата вычтем первый. Получим

$$u \frac{\partial \Omega}{\partial x} + v \frac{\partial \Omega}{\partial y} - R^{-1} \Delta \Omega = 0, \quad \Omega = \frac{\partial v}{\partial x} - \frac{\partial u}{\partial y} \quad (2.1)$$

Далее введем функцию тока $\psi(x, y)$, являющуюся интегралом уравнения (1.4)

$$u = -\frac{\partial \psi}{\partial y}, \quad v = \frac{\partial \psi}{\partial x} \quad (2.2)$$

Подставляя (2.2) в (2.1), получаем уравнение четвертого порядка для искомой функции ψ , эквивалентное исходной системе (1.2) — (1.4)

$$-\frac{1}{R} \Delta (\Delta \psi) - \frac{\partial \psi}{\partial y} \frac{\partial \Delta \psi}{\partial x} + \frac{\partial \psi}{\partial x} \frac{\partial \Delta \psi}{\partial y} = 0 \quad (2.3)$$

Граничные условия для функции ψ в рассматриваемой области получим из граничных условий для u и v (1.5) — (1.8) с учетом соотношений (2.2)

$$\psi = H_1(y), \quad \frac{\partial^2 \psi}{\partial x^2} = 0 \quad \text{при } x = 0 \quad (2.4)$$

$$\psi = H_2(y), \quad \frac{\partial^2 \psi}{\partial x^2} = 0 \quad \text{при } x = L \quad (2.5)$$

$$\psi = 0, \quad \frac{\partial \psi}{\partial y} = 0 \quad \text{при } y = 0 \quad (2.6)$$

$$\psi = c, \quad \frac{\partial^2 \psi}{\partial y^2} = 0 \quad \text{при } y = 1 \quad (2.7)$$

$$H_1(y) = -\int_0^y f_1(y) dy, \quad H_2(y) = -\int_0^y f_2(y) dy, \quad c = H_1(1) = H_2(1) \quad (2.8)$$

Уравнение (2.3) с граничными условиями (2.4) — (2.7) будем решать конечно-разностным методом. Для этого в области $0 < x < L$, $0 < y < 1$ введем сетку, составленную из прямых

$$x_i = i \Delta x \quad (i = 0, 1, \dots, m + 1), \quad y_k = k \Delta y \quad (k = 0, 1, \dots, n + 1)$$

причем ради простоты будем пока считать $\Delta x = \Delta y = h$.

Однако, прежде чем в уравнении (2.3) переходить к конечным разностям, заменим это уравнение четвертого порядка системой двух уравнений второго порядка

$$-\frac{1}{R} \Delta \Omega + u \frac{\partial \Omega}{\partial x} + v \frac{\partial \Omega}{\partial y} = 0, \quad \Delta \psi = \Omega \quad (2.9)$$

причем u и v определяются по (2.2). Граничные условия для функции Ω получаются из уравнения (2.9.2) при помощи условий (2.4) — (2.7).

Перейдем в уравнениях (2.9) к конечным разностям. Используем аппроксимации

$$(\Delta \Phi)_{i,k} = (\Phi_{i-1,k} + \Phi_{i+1,k} + \Phi_{i,k-1} + \Phi_{i,k+1} - 4\Phi_{i,k}) h^{-2} \quad (2.10)$$

$$\left(u \frac{\partial \Omega}{\partial x}\right)_{i,k} = \begin{cases} (\Omega_{i,k} - \Omega_{i-1,k}) |u_{i,k}| / h, & \text{если } u_{i,k} \geq 0 \\ (\Omega_{i,k} - \Omega_{i+1,k}) |u_{i,k}| / h, & \text{если } u_{i,k} < 0 \end{cases}$$

$$\left(v \frac{\partial \Omega}{\partial y}\right)_{i,k} = \begin{cases} (\Omega_{i,k} - \Omega_{i,k-1}) |v_{i,k}| / h, & \text{если } v_{i,k} \geq 0 \\ (\Omega_{i,k} - \Omega_{i,k+1}) |v_{i,k}| / h, & \text{если } v_{i,k} < 0 \end{cases} \quad (2.11)$$

$$u_{i,k} = -(\psi_{i,k+1} - \psi_{i,k-1}) / 2h, \quad v_{i,k} = (\psi_{i+1,k} - \psi_{i-1,k}) / 2h$$

Аппроксимируя производные $\partial \Omega / \partial x$ и $\partial \Omega / \partial y$ односторонними разностями (а не центральными), имеем в виду прежде всего получение счетно-устойчивой численной схемы (в ущерб ее точности).

При использовании выражений (2.10) и (2.11) разностные уравнения для $\Omega_{i,k}$ и $\psi_{i,k}$, аппроксимирующие уравнения (2.9), во внутренних узлах счетной сетки запишутся в виде¹

$$\begin{aligned} & - \left(\frac{1}{Rh} + \frac{|u_{i,k}| + u_{i,k}}{2} \right) \Omega_{i-1,k} - \left(\frac{1}{Rh} + \frac{|u_{i,k}| - u_{i,k}}{2} \right) \Omega_{i+1,k} - \\ & - \left(\frac{1}{Rh} + \frac{|v_{i,k}| + v_{i,k}}{2} \right) \Omega_{i,k-1} - \left(\frac{1}{Rh} + \frac{|v_{i,k}| - v_{i,k}}{2} \right) \Omega_{i,k+1} + \\ & + \left(\frac{4}{Rh} + |u_{i,k}| + |v_{i,k}| \right) \Omega_{i,k} = 0 \end{aligned} \quad (2.12)$$

$$-\psi_{i-1,k} - \psi_{i+1,k} - \psi_{i,k-1} - \psi_{i,k+1} + 4\psi_{i,k} = -h^2 \Omega_{i,k} \quad (2.13)$$

$(i = 1, 2, \dots, m; k = 1, 2, \dots, n)$

Запишем теперь граничные условия для системы функций $\Omega_{i,k}$ и $\psi_{i,k}$. Условия (2.4) и (2.5) приведут к следующим условиям на входе и выходе канала:

$$\begin{aligned} \Omega_{0,k} &= G_1(y_k), \quad \psi_{0,k} = H_1(y_k), \quad \Omega_{m+1,k} = G_2(y_k), \quad \psi_{m+1,k} = H_2(y_k) \\ G_1(y) &= \partial^2 H_1(y) / \partial y^2, \quad G_2(y) = \partial^2 H_2(y) / \partial y^2 \end{aligned} \quad (2.14)$$

На границе $y = 0$, согласно двум условиям (2.6), можем записать

$$\Omega_{i,0} = (\partial^2 \psi / \partial y^2)_{i,0} = (8\psi_{i,1} - \psi_{i,2}) / 2h^2, \quad \psi_{i,0} = 0$$

Далее, $\psi_{i,1}$ выразим через $\Omega_{i,1}$ при помощи уравнения (2.13). В результате условия для функций Ω и ψ на границе $y = 0$ запишем в виде

$$\Omega_{i,0} = -\Omega_{i,1} + (\psi_{i-1,1} + \psi_{i+1,1} + 0.5\psi_{i,2}) h^{-2}, \quad \psi_{i,0} = 0 \quad (2.15)$$

На границе $y = 1$, согласно условиям (2.7),

$$\Omega_{i,n+1} = 0, \quad \psi_{i,n+1} = c \quad (2.16)$$

¹ Переход в уравнении (2.9.1) к конечным разностям может быть произведен и по более совершенным схемам. Авторами использовалась также схема Аллена, изложенная в работе [1].

После использования в уравнениях (2.12), (2.13) граничных условий (2.14) — (2.16) получим систему алгебраических уравнений для неизвестных $\Omega_{i,k}$ и $\psi_{i,k}$ вида

$$-a_{i,k}\Omega_{i-1,k} - c_{i,k}\Omega_{i+1,k} - b_{i,k}\Omega_{i,k-1} - d_{i,k}\Omega_{i,k+1} + p_{i,k}\Omega_{i,k} = F_{i,k} + g_{i,k}(\psi) \quad (2.17)$$

$$-a_{i,k}\psi_{i-1,k} - c_{i,k}\psi_{i+1,k} - b_{i,k}\psi_{i,k-1} - d_{i,k}\psi_{i,k+1} + p_{i,k}\psi_{i,k} = F_{i,k} - h^2\Omega_{i,k} \quad (2.18)$$

($i = 1, 2, \dots, m; \quad k = 1, 2, \dots, n$)

причем

$$a_{1,k} = c_{m,k} = b_{i,1} = d_{i,n} = 0, \quad a_{1,k}' = c_{m,k}' = b_{i,1}' = d_{i,n}' = 0$$

Слагаемое $g_{i,k}(\psi)$ в правой части уравнения (2.17), связанное своим происхождением с условием (2.15), отлично от нуля лишь на строке $k = 1$, а именно,

$$g_{i,k}(\psi) = \begin{cases} b_{i,1}^* (\psi_{i-1,1} + \psi_{i+1,1} + 0.5\psi_{i,2}) h^{-2} & \text{при } k = 1 \\ 0 & \text{при } k \neq 1 \end{cases}$$

$$b_{i,1}^* = 1 / Rh + 1/2 (|v_{i,k}| + v_{i,k})$$

если уравнение (2.12) ни на что предварительно не помножалось.

Систему уравнений (2.17) — (2.18) перепишем следующим образом:

$$-a_{i,k}\Omega_{i-1,k} - c_{i,k}\Omega_{i+1,k} - b_{i,k}\Omega_{i,k-1} - d_{i,k}\Omega_{i,k+1} + p_{i,k}(1 + \lambda)\Omega_{i,k} = F_{i,k} + g_{i,k}(\psi) + \lambda p_{i,k}(\Delta\psi)_{i,k} \quad (2.19)$$

$$-a_{i,k}'\psi_{i-1,k} - c_{i,k}'\psi_{i+1,k} - b_{i,k}'\psi_{i,k-1} - d_{i,k}'\psi_{i,k+1} + p_{i,k}'\psi_{i,k} = F_{i,k}' - h^2\Omega_{i,k} \quad (2.20)$$

Параметр λ , входящий в уравнение (2.19), качественно играет ту же роль, что и параметр $1/\tau$ (τ — шаг по времени) в решении задачи (2.9) методом установления. Расцелим теперь каждое из уравнений (2.19) и (2.20) на два разностных уравнения первого порядка (см. [2]).

Для этой цели в правую и левую части уравнения (2.19) прибавляем двучлен

$$B_{i,k} = r_{i,k}\Omega_{i-1,k+1} + s_{i,k}\Omega_{i+1,k-1}$$

где коэффициенты $r_{i,k}$ и $s_{i,k}$ пока что произвольны.

Система уравнений

$$Z_{i,k} = \gamma_{i,k}(a_{i,k}Z_{i-1,k} + b_{i,k}Z_{i,k-1} + F_{i,k} + g_{i,k}(\psi) + \lambda p_{i,k}(\Delta\psi)_{i,k}) + \gamma_{i,k}(r_{i,k}\Omega_{i-1,k+1} + s_{i,k}\Omega_{i+1,k-1}) \quad (2.21)$$

$$\Omega_{i,k} = \gamma_{i,k}(c_{i,k}\Omega_{i+1,k} + d_{i,k}\Omega_{i,k+1}) + Z_{i,k} \quad (2.22)$$

$$\gamma_{i,k} = [(1 + \lambda)p_{i,k} - a_{i,k}c_{i-1,k}\gamma_{i-1,k} - b_{i,k}d_{i,k-1}\gamma_{i,k-1}]^{-1}$$

будет эквивалентна уравнению (2.19), если коэффициенты $r_{i,k}$ и $s_{i,k}$, входящие в выражение для $B_{i,k}$, принять равными

$$r_{i,k} = a_{i,k}d_{i-1,k}\gamma_{i-1,k}, \quad s_{i,k} = b_{i,k}c_{i,k-1}\gamma_{i,k-1}$$

Аналогично, уравнение (2.20) заменим эквивалентной системой

$$W_{i,k} = \gamma_{i,k}'(a_{i,k}'W_{i-1,k} + b_{i,k}'W_{i,k-1} + F_{i,k}' - h^2\Omega_{i,k}) + \gamma_{i,k}'(r_{i,k}'\psi_{i-1,k+1} + s_{i,k}'\psi_{i+1,k-1}) \quad (2.23)$$

$$\psi_{i,k} = \gamma_{i,k}'(c_{i,k}'\psi_{i+1,k} + d_{i,k}'\psi_{i,k+1}) + W_{i,k} \quad (2.24)$$

$$\gamma_{i,k}' = (p_{i,k}' - a_{i,k}'c_{i-1,k}'\gamma_{i-1,k}' - b_{i,k}'d_{i,k-1}'\gamma_{i,k-1}')^{-1}$$

$$r_{i,k}' = a_{i,k}'d_{i-1,k}'\gamma_{i-1,k}', \quad s_{i,k}' = b_{i,k}'c_{i,k-1}'\gamma_{i,k-1}'$$

Поскольку системы уравнений (2.21), (2.22) и (2.23), (2.24) неразделяющиеся, а именно, коэффициенты уравнений (2.21) и (2.22) и слагаемые $F_{i,k} + g_{i,k}(\psi) + \lambda p_{i,k}(\Delta\psi)_{i,k}$ зависят от поля функции ψ , обе системы уравнений будем решать совместно методом последовательных приближений.

Задав в нулевом приближении поле функции $\psi_{i,k}$, вычисляем коэффициенты $a_{i,k}$, $b_{i,k}$, $c_{i,k}$, $d_{i,k}$, $\gamma_{i,k}$ и величины $F_{i,k}$, $g_{i,k}(\psi)$, $\lambda p_{i,k}(\Delta\psi)_{i,k}$, входящие в уравнения (2.21), (2.22), и решаем итерациями систему уравнений (2.21), (2.22), а затем (также итерациями) — систему уравнений (2.23), (2.24). Далее, уточняем коэффициенты $a_{i,k}$, $b_{i,k}$,

$c_{i,k}$, $d_{i,k}$, $\gamma_{i,k}$ уравнений (2.21), (2.22), правую часть $F_{i,k} + g_{i,k}(\psi) + \lambda p_{i,k}(\Delta\psi)_{i,k}$ уравнения (2.21) и снова решаем систему (2.21)–(2.22), а затем систему (2.23)–(2.24). И так далее.

Итерационный процесс для всей системы четырех уравнений (2.21)–(2.24) прекращается, когда разница между последовательными приближениями для поля функции $\psi_{i,k}$ станет меньше заданной малой величины ϵ .

В итоге получаем поля скоростей u и v в канале в виде функций координат.

Поле давления можно получить путем непосредственного интегрирования уравнений (1.2) и (1.3) вдоль координатных линий. При этом фиксируется давление в одной из точек рассматриваемой области.

§ 3. Результаты расчета. Решение задачи (1.2)–(1.8) конкретно проводилось при следующих граничных условиях для составляющих скорости u и v при $x = 0$ и $x = L$:

$$u = 1, \quad \partial v / \partial x = 0 \quad \text{при } x = 0 \quad (3.1)$$

$$u = 3y(1 - 1/2y), \quad \partial v / \partial x = 0 \quad \text{при } x = L \quad (3.2)$$

Условие (3.2) взято из решения стационарной задачи (1.2)–(1.4) для течения в бесконечно-протяженном канале.

Решение уравнений (2.21)–(2.24) было запрограммировано на электронно-вычислительную машину.

Опыт решения этой системы прежде всего показал, что при $\lambda = 0$ итерационный процесс (2.21)–(2.24) может расходиться.

Оптимальные значения λ , при которых итерационный процесс (2.21)–(2.24) сходится наиболее быстро, находятся в интервале $0 < \lambda < 0.5$.

Из анализа реализованного итерационного процесса (2.21)–(2.24) можно сделать вывод, что итерируемые члены в правой части уравнения (2.21) $r_{i,k} \Omega_{i-1,k+1} + s_{i,k} \Omega_{i+1,k-1}$ далеко не составляют основную долю правой части этого уравнения. Поэтому указанные слагаемые можно итерировать в системе (2.21)–(2.22) небольшое число раз. То же самое можно сказать и о членах $r_{i,k} \psi_{i-1,k+1} + s_{i,k} \psi_{i+1,k-1}$ в уравнении (2.23).

При количестве счетных узлов сетки $mn \approx 400$ и $\lambda = 0.1-0.2$ хорошо показал себя следующий способ итераций: Z и Ω пересчитывались в процессе (2.21), (2.22) по пять раз, а W и ψ в процессе (2.23), (2.24) — лишь по одному разу. При этом для получения поля ψ с точностью до трех-четырех знаков необходимое количество итераций между уравнениями (2.21), (2.22) и (2.23), (2.24) (т. е. число внешних итераций) не превышает 20–30.

Для получения более детальной картины течения жидкости вблизи входного сечения и около стенки канала использовалась сетка с неравномерным шагом Δx и Δy . Это осуществлялось путем введения в уравнения (2.9) (до перехода к конечным разностям) вместо переменных x и y новых независимых переменных

$$\mu = \ln(1 + x / \delta_1), \quad \nu = \ln(1 + y / \delta_2) \quad (3.3)$$

где δ_1 и δ_2 — некоторые «масштабы» явлений вблизи границ $x = 0$ и $y = 0$.

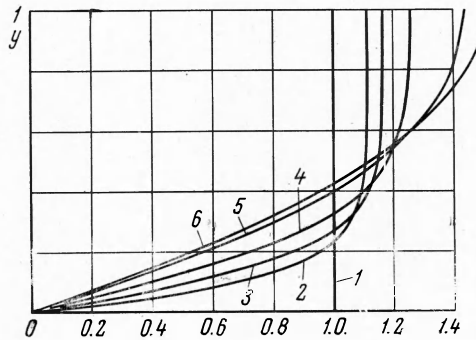
Уравнения (2.9) с учетом (3.3) переписываются в виде

$$\begin{aligned} & - \frac{1}{(\delta_1 + x)(\delta_2 + y)} \frac{\partial \psi}{\partial \nu} \frac{\partial \Omega}{\partial \mu} + \frac{1}{(\delta_1 + x)(\delta_2 + y)} \frac{\partial \psi}{\partial \mu} \frac{\partial \Omega}{\partial \nu} - \\ & - \frac{1}{R} \left[\frac{1}{\delta_1 + x} \frac{\partial}{\partial \mu} \left(\frac{1}{\delta_1 + x} \frac{\partial \Omega}{\partial \mu} \right) + \frac{1}{\delta_2 + y} \frac{\partial}{\partial \nu} \left(\frac{1}{\delta_2 + y} \frac{\partial \Omega}{\partial \nu} \right) \right] = 0 \quad (3.4) \\ & \frac{1}{\delta_1 + x} \frac{\partial}{\partial \mu} \left(\frac{1}{\delta_1 + x} \frac{\partial \psi}{\partial \mu} \right) + \frac{1}{\delta_2 + y} \frac{\partial}{\partial \nu} \left(\frac{1}{\delta_2 + y} \frac{\partial \psi}{\partial \nu} \right) = \Omega \end{aligned}$$

При равномерных шагах координатной сетки в переменных μ и ν интервалы между счетными узлами в линейной шкале описываются формулами

$$(\Delta x)_i \approx (\delta_1 + x_i) \Delta \mu, \quad (\Delta y)_k \approx (\delta_2 + y_k) \Delta \nu$$

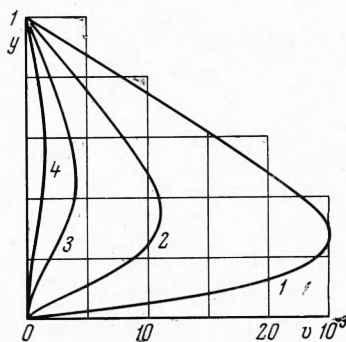
Результаты расчетов полей скорости и давления во входной области плоского зазора при различных значениях чисел R представлены на фиг. 2–6.



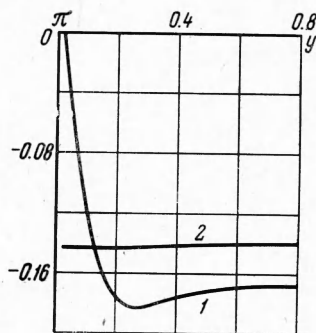
Фиг. 2

На фиг. 2 показаны для примера рассчитанные профили продольной составляющей скорости u в различных сечениях канала при $R = 500$. Кривые 1—6 на этой фигуре относятся соответственно к сечениям $x = 0, 1.97, 4.05, 10.9, 42.4$ и 100 .

На фиг. 3 показаны рассчитанные профили поперечной составляющей скорости v в потоке с тем же числом $R = 500$. Кривые 1—4 относятся к сечениям $x = 1.97, 4.05, 10.9$ и 24.8 . На расстоянии от входа $x \approx 2$ поперечная составляющая скорости v , согласно фиг. 3, достигает 2.5% от продольной составляющей скорости u на входе в канал.

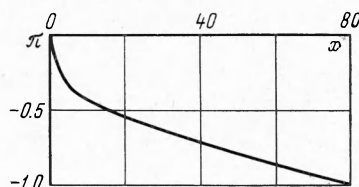


Фиг. 3

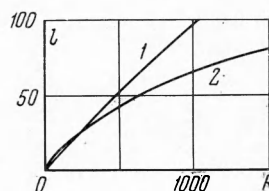


Фиг. 4

Рассчитанное давление π существенно неравномерно по сечению канала лишь на расстояниях от входа в пределах $0 \leq x \leq 2$. На фиг. 4 кривые 1 и 2 описывают распределение давления в сечениях $x = 0.987$ и $x = 2.02$ (значение π принято равным нулю в точке с координатами $x = 0.987, y = 0.022$). Согласно фиг. 4, при числе $R = 500$ в сечении канала с $x \approx 1,0$ перепад давления π на стенке и внутри потока достигает 0.2.



Фиг. 5



Фиг. 6

На фиг. 5 показано рассчитанное изменение давления в потоке жидкостивдоль канала на расстоянии от стенки канала $y = 0.022$ при числе $R = 500$. Как следует из фиг. 5, стабилизация градиента давления в потоке жидкости наступает при таком числе R на расстоянии x от входа порядка 40.

На фиг. 6 представлена рассчитанная зависимость длины участка гидродинамической стабилизации l в ламинарном потоке жидкости в плоском зазоре от числа R . Приводятся оценки величины l по установлению скорости u на оси канала (кривая 1) и по установлению касательного напряжения τ на стенке канала (кривая 2). Кривая 1 удовлетворительно согласуется с результатом, полученным Лейбензоном (см. [3]).

Рассчитанное поле скорости качественно согласуется с результатами, полученными в работе [1].

Поступила 4 V 1966

ЛИТЕРАТУРА

1. Wang Y. L., Longwell P. A. Laminar flow in the inlet section of parallel plates. Amer. Inst. Chem. Engng. Journ., 1964, vol. 10, No. 3.
2. Буле в Н. И. Численный метод решения двумерных и трехмерных уравнений диффузии. Матем. сб., 1960, т. 51, № 2.
3. Т а р г С. М. Основные задачи теории ламинарных течений. Гостехиздат, 1951.